

国 际 电 信 联 盟

ITU-R

国际电联无线电通信部门

ITU-R P.453-10 建议书
(02/2012)

**无线电折射率：公式和
折射率数据**

**P系列
无线电波传播**



国际电信联盟

前言

无线电通信部门的作用是确保所有无线电通信业务，包括卫星业务，合理、公平、有效和经济地使用无线电频谱，并开展没有频率范围限制的研究，在此基础上通过建议书。

无线电通信部门制定规章制度和政策的职能由世界和区域无线电通信大会以及无线电通信全会完成，并得到各研究组的支持。

知识产权政策（IPR）

ITU-R的知识产权政策在ITU-R第1号决议附件1引用的“ITU-T/ITU-R/ISO/IEC共同专利政策”中做了说明。专利持有者提交专利和许可声明的表格可从<http://www.itu.int/ITU-R/go/patents/en>获得，该网址也提供了“ITU-T/ITU-R/ISO/IEC共同专利政策实施指南”以及ITU-R专利信息数据库。

ITU-R 建议书系列

（可同时在以下网址获得：<http://www.itu.int/publ/R-REC/en>）

系列	标题
BO	卫星传输
BR	用于制作、存档和播放的记录；用于电视的胶片
BS	广播业务（声音）
BT	广播业务（电视）
F	固定业务
M	移动、无线电测定、业余及相关卫星业务
P	无线电波传播
RA	射电天文
RS	遥感系统
S	卫星固定业务
SA	空间应用和气象
SF	卫星固定和固定业务系统之间频率共用和协调
SM	频谱管理
SNG	卫星新闻采集
TF	时间信号和频率标准发射
V	词汇和相关课题

注：本ITU-R建议书英文版已按ITU-R第1号决议规定的程序批准。

电子出版物
2012年，日内瓦

© 国际电联 2012

版权所有。未经国际电联书面许可，不得以任何手段翻印本出版物的任何部分。

ITU-R P.453-10 建议书
无线电折射率：公式和折射率数据
(ITU-R第201/3号课题)

(1970-1986-1990-1992-1994-1995-1997-1999-2001-2003-2012年)

范围

ITU-R P.453建议书提供估测无线电折射率及其在全球各个方位的特点的方法；描述表面及垂直分布特点；并提供了表示折射率参数分布及其统计变化的全球地图。

国际电联无线电通信全会，

考虑到

- a) 必须使用单一的公式来计算大气折射率；
- b) 需要全球折射率和折射率梯度方面的参考数据；
- c) 必须用数学方法来表示折射率梯度的统计分布，

建议

- 1 大气无线电折射率 n 应通过附件1给出的公式计算；
- 2 应采用附件1世界航线图和全球数值地图中给出的折射率数值，除非有更可靠的本地数据；
- 3 应采用附件1给出的方法计算折射率梯度的统计分布；
- 4 如果温度和相对湿度无本地数据，则应采用附件1第2.2节描述的超过全年50%数值的地表无线折射率湿项全球数值地图。

附件1

1 无线电折射率公式

大气无线电折射率 n 可用下列公式计算:

$$n = 1 + N \times 10^{-6} \quad (1)$$

其中:

N : 无线电折射率, 表述为:

$$N = N_{dry} + N_{wet} = \frac{77.6}{T} \left(P + 4810 \frac{e}{T} \right) \quad (\text{N-units}) \quad (2)$$

其中无线电折射率干项 N_{dry} 可表示为:

$$N_{dry} = 77.6 \frac{P}{T} \quad (3)$$

以及湿项 N_{wet} 为:

$$N_{wet} = 3.732 \times 10^5 \frac{e}{T^2} \quad (4)$$

其中:

- P : 大气压力 (hPa);
- e : 水蒸气压力 (hPa);
- T : 绝对温度(K)。

该表达式可用于所有无线电频率; 对于100 GHz以上频率, 误差低于0.5%。有关温度、压力和水蒸气压力的样本介绍详见ITU-R P.835建议书。

为便于参照, 水蒸气压力 e 和相对湿度由下列等式给出:

$$e = \frac{H \cdot e_s}{100} \quad (5)$$

其中:

$$e_s = EF \cdot a \cdot \exp \left[\frac{\left(b - \frac{t}{d} \right) \cdot t}{t + c} \right] \quad (6)$$

且:

$$\begin{aligned} EF_{water} &= 1 + 10^{-4} \left[7.2 + P \cdot \left(0.00320 + 5.9 \cdot 10^{-7} \cdot t^2 \right) \right] \\ EF_{ice} &= 1 + 10^{-4} \left[2.2 + P \cdot \left(0.00382 + 6.4 \cdot 10^{-7} \cdot t^2 \right) \right] \end{aligned}$$

其中:

t :	温度(°C);	
P :	压力(hPa);	
H :	相对湿度(%);	
e_s :	温度 t (°C)情况下的饱和水蒸气压力(hPa), 且系数 a 、 b 、 c 为:	
	水	冰
	$a = 6.1121$	$a = 6.1115$
	$b = 18.678$	$b = 23.036$
	$c = 257.14$	$c = 279.82$
	$d = 234.5$	$d = 333.7$
	(有效范围-40°至+50°)	(有效范围-80°至0°)

通过水蒸气密度, 采用以下等式获取水蒸气压力 e :

$$e = \frac{\rho T}{216.7} \quad \text{hPa} \quad (7)$$

其中单位为 g/m^3 。代表值由ITU-R P.836建议书给出。

2 表面折射率与高度的关系

2.1 折射率与高度的函数关系

折射率 n 与高度 h 之间的长期平均相关由以下指数律表述:

$$n(h) = 1 + N_0 \times 10^{-6} \times \exp(-h/h_0) \quad (8)$$

其中:

N_0 : 外推至海平面的大气折射率平均值

h_0 : 标尺高度(km)。

不同气候条件下的 N_0 和 h_0 可通过统计方式确定。为便于参照, 全球平均高度折射率可定义为:

$$N_0 = 315$$

$$h_0 = 7.35 \text{ km}$$

这些数值仅适用于地面路径。

该参考分布可用于通过 N_0 计算地球表面折射率 N_s :

$$N_s = N_0 \exp(-h_s/h_0) \quad (9)$$

其中:

h_s : 地球表面海拔高度(km)。

不过, 有必要注意的是, 图1和图2中的曲线是利用 h_0 等于9.5 km条件获取的。图1和图2来自约1 000座地面站为期5年(1955-1959年)的数据(图1和图2无数值形式)。

对于地球-卫星路径，任意高度的折射率可通过以上等式(1)、(2)和(7)以及ITU-R P.835建议书附件1给出的参数的适当值来获得。由此获得的折射率然后可用于穿透大气的射线路径的数值建模。

(请注意，等式(9)中的指数曲线也可用于近地球表面折射率梯度以及视轴角度的快速和大致预测，如ITU-R P.834建议书第4.3节所述。)

2.2 表面折射率湿项

为便于参照，图3给出了超过平均年份的表面折射率湿项平均值(50%)。数据文件ESANWET.TXT包含了数值数据。

表面折射率湿项的推导利用了欧洲中期天气预报中心(ECMWF)为期两年(1992-1993年)的数值天气预报初始化数据。

注1 – 数据文件ESANWET.TXT具有经度和纬度方面的1.5°精度。附带数据文件ESALAT.TXT和ESALON.TXT分别包含ESANWET.TXT数据文件对应项目(网格点)的纬度和经度。

数据范围在经度方面从0°至360°，在纬度方面从+90°至-90°。从不同于网格点的位置看，在该位置的折射率湿项可通过执行双线性内插从四个最近的网格点值中推导出。

数据文件可从无线电通信局(BR)获取。

图1
N₀月平均值：二月

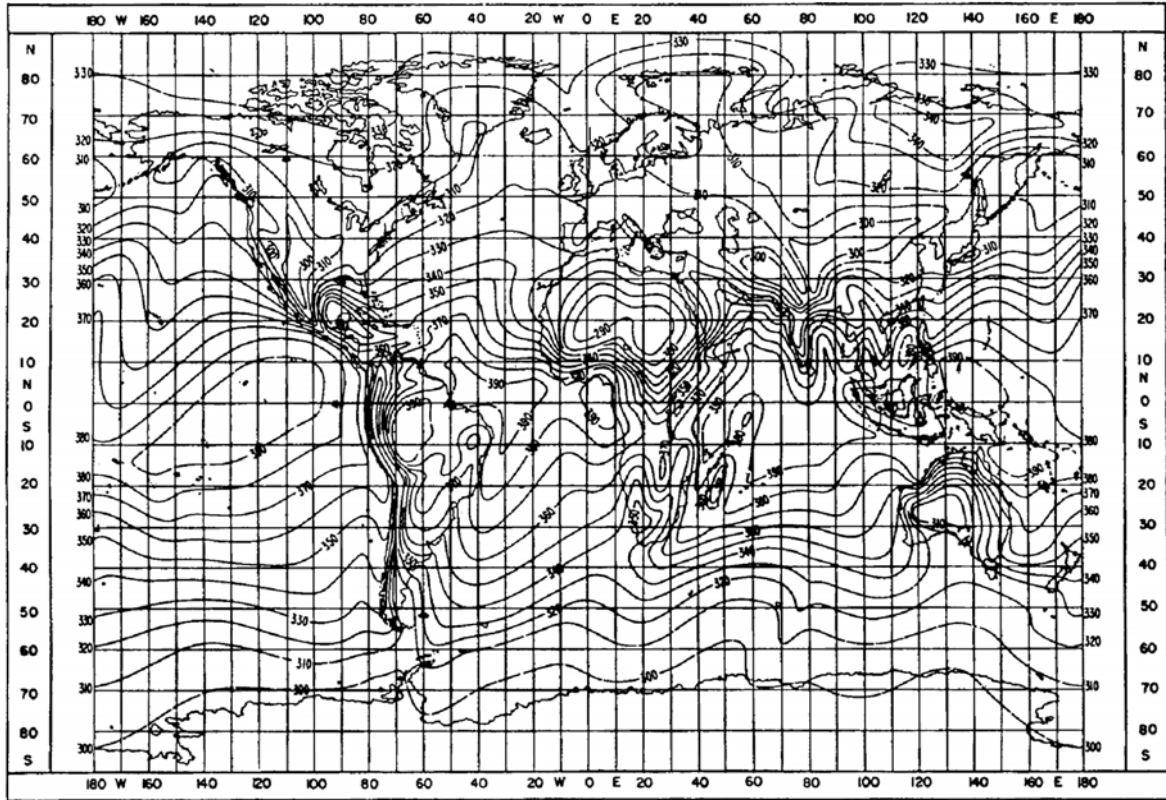


图2
N₀月平均值：八月

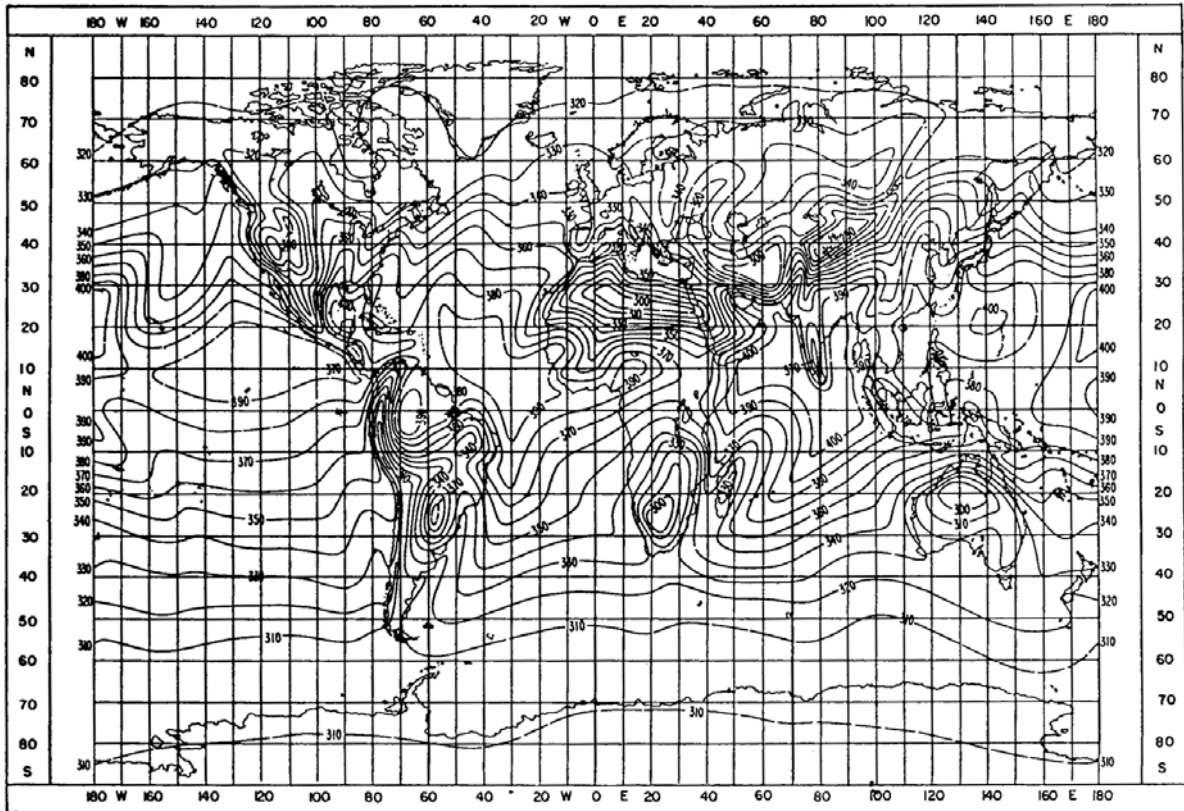
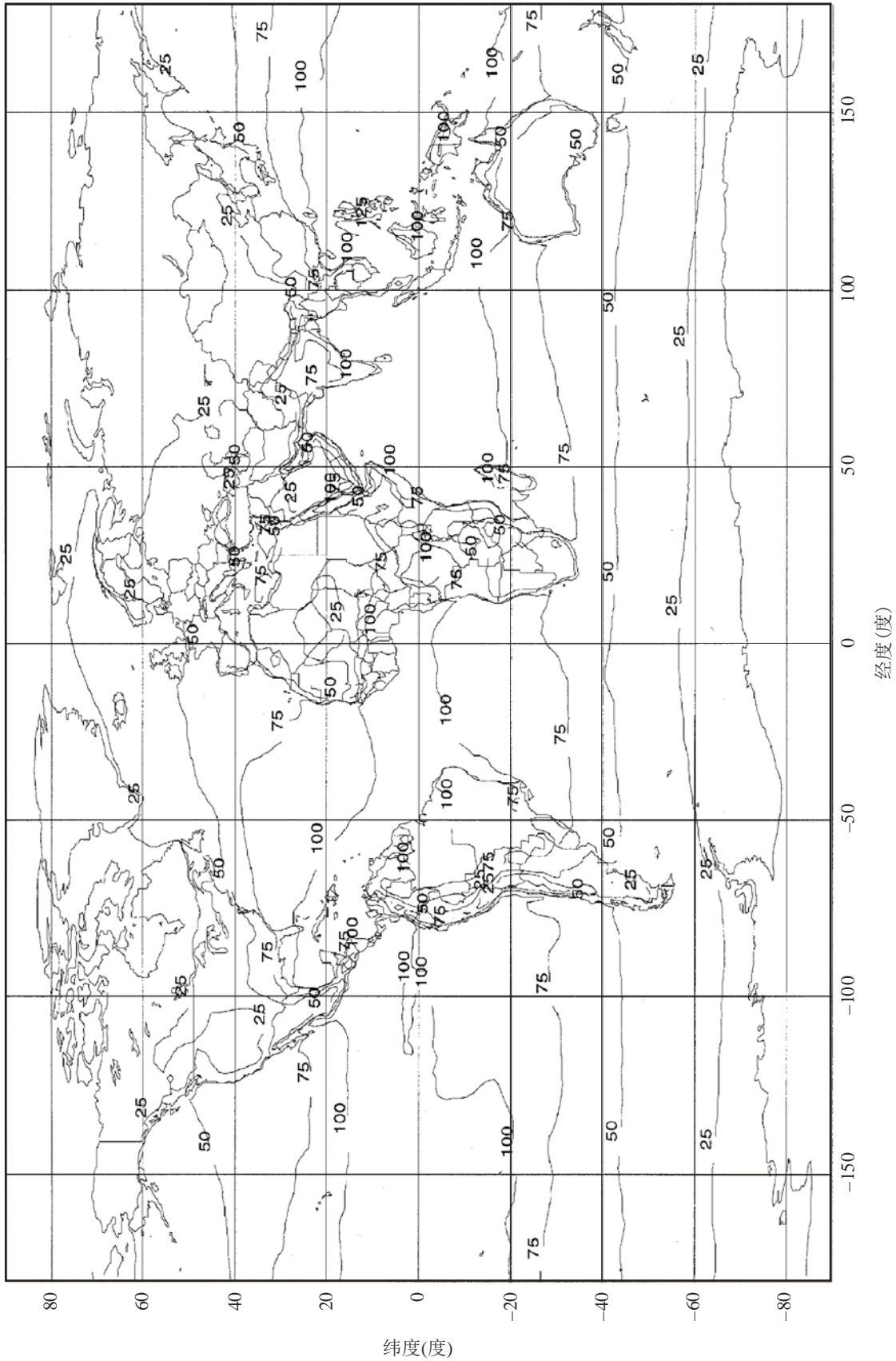


图3

超过全年50%的表面折射率湿项(ppm)



P.0453-03

3 垂直折射率梯度

大气最底层无线电折射率垂直统计梯度对于预测路径净空和传播相关效应参数(如穿越地平线路径传导, 表面反射以及地面视距链路多径衰落和失真)来说非常重要。

3.1 大气层第一公里情况

图4至图7显示了无线电折射率在一个距离表面1公里的层上的月平均降低等值线(即垂直梯度)。无线电折射率变化 ΔN 由下列等式计算:

$$\Delta N = N_s - N_1 \quad (10)$$

其中 N_1 是距地表高度1 km的无线电折射率。各 ΔN 值并未按某一参考表面简化。图4至图7推导自99个无线电探空仪所在位置为期5年(1955-1959年)的数据集合。(图4至图7不存在数值形式。)

3.2 大气最底层情况

距地球表面100 m的最底层折射率梯度统计被用于估测导管和多径情况发生的概率。在不存在更可靠本地数据情况下, 图8至图11各图给出了从99个无线电探空仪所在位置为期5年(1955-1959年)的数据推导出的全球此类统计的数据情况。(图8至图11不存在数值形式。)

为便于参照, 图12至图16显示了大气层最低的65 m层的折射率梯度 dN_1 。数据文件DNDZ_xx.TXT包含这些图中显示的数字数据。

折射率梯度推导自欧洲中期天气预报中心为期两年(1992-1993年)的数值天气预报初始化数据(一天四次)。

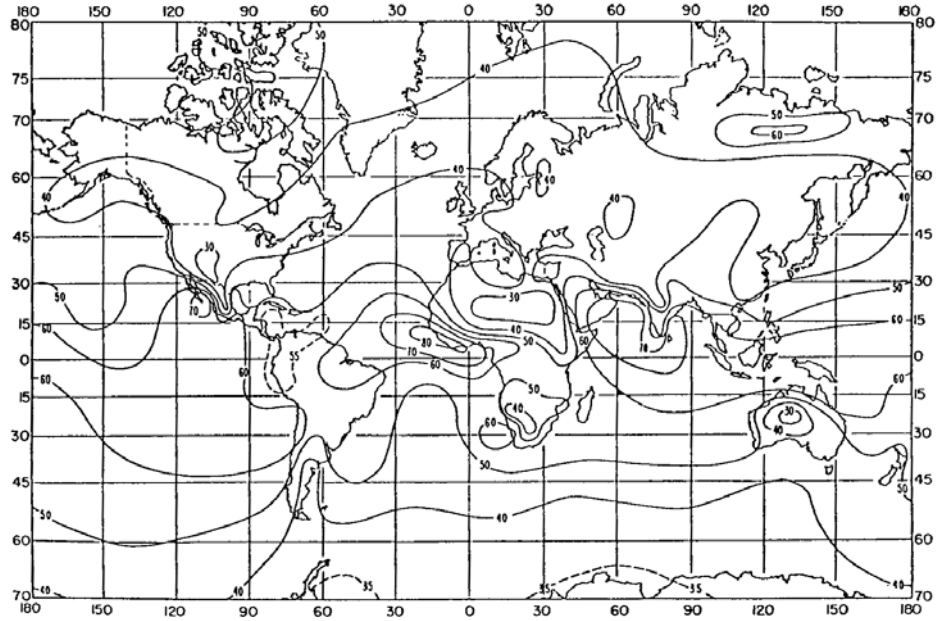
注1 - 数据文件DNDZ_xx.TXT在纬度和经度上都具有1.5°的精确度。附带文件DNDZLAT.TXT 和DNDZLON.TXT分别包含DNDZ_xx.TXT对应项(网格点)的纬度和经度。

数据范围在经度方面从0°至360°, 在纬度方面从+90°至-90°。从不同于网格点的位置看, 在该位置的折射率湿项可通过执行双线性插值从四个最近的网格点值中推导出。

数据文件可从无线电通信局获取。

图4

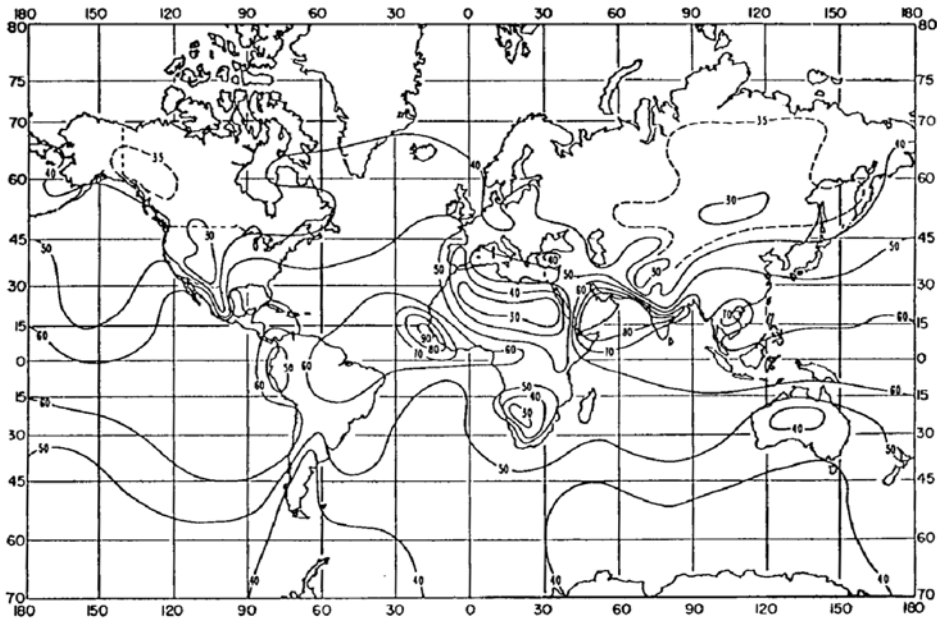
ΔN 月平均值：二月



P.0453-04

图5

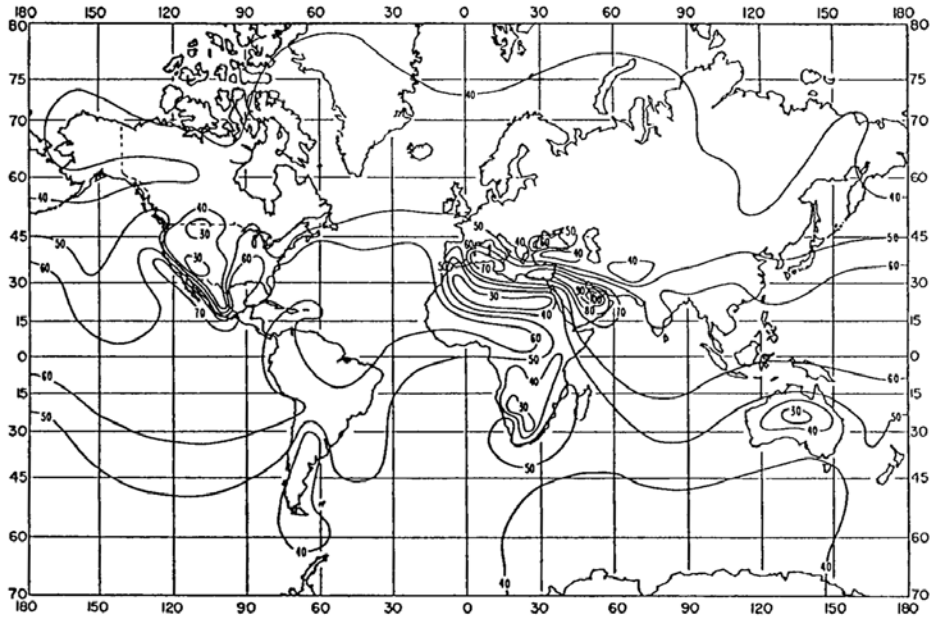
ΔN 月平均值：五月



P.0453-05

图6

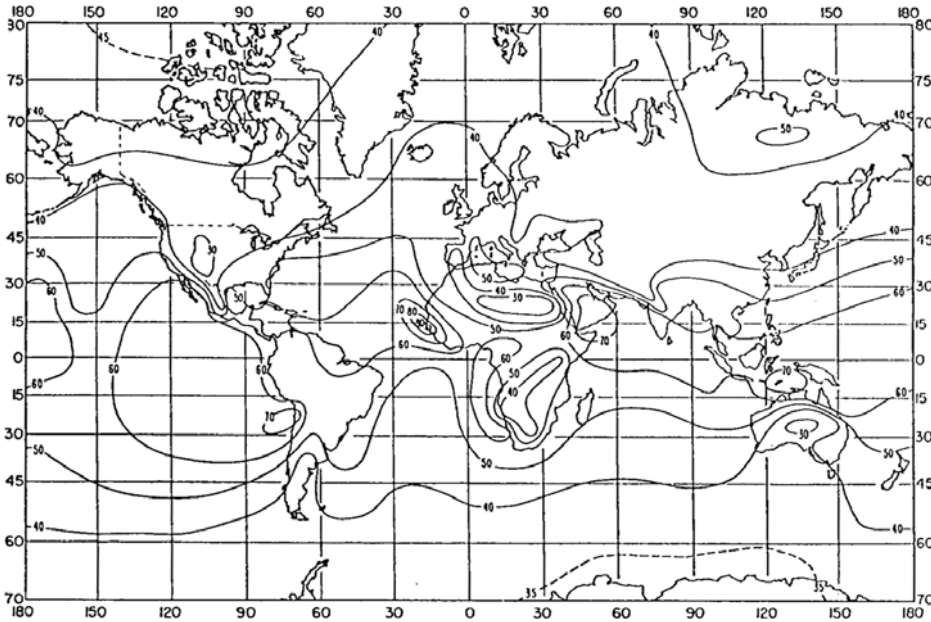
ΔN 月平均值：八月



P.0453-06

图7

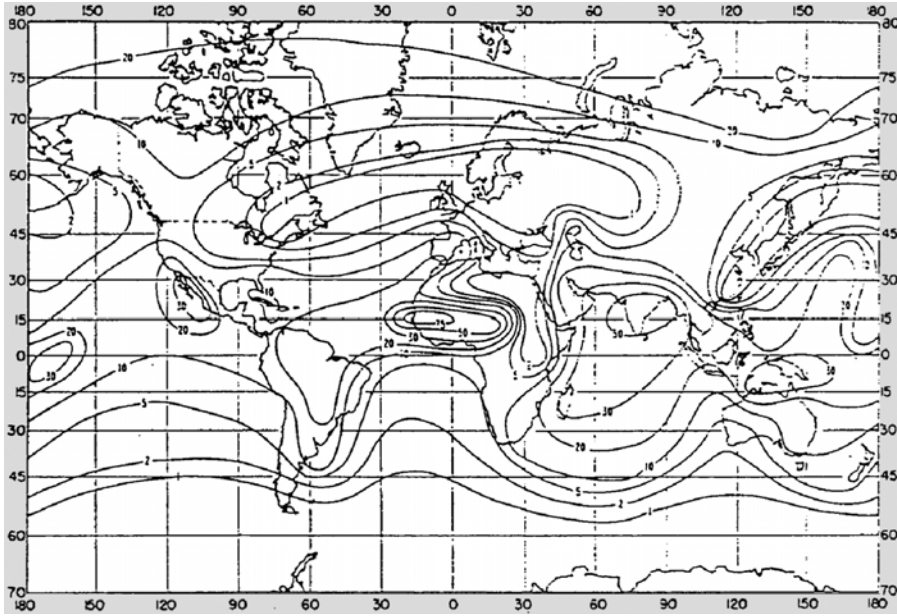
ΔN 月平均值：十一月



P.0453-07

图8

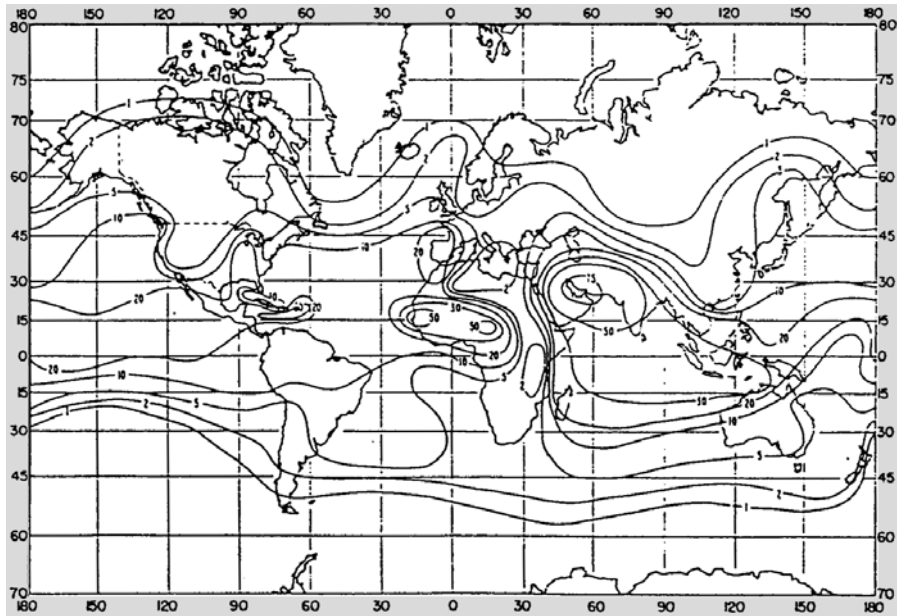
时间梯度百分比 ≤ -100 (N- units/km): 二月



P.0453-08

图9

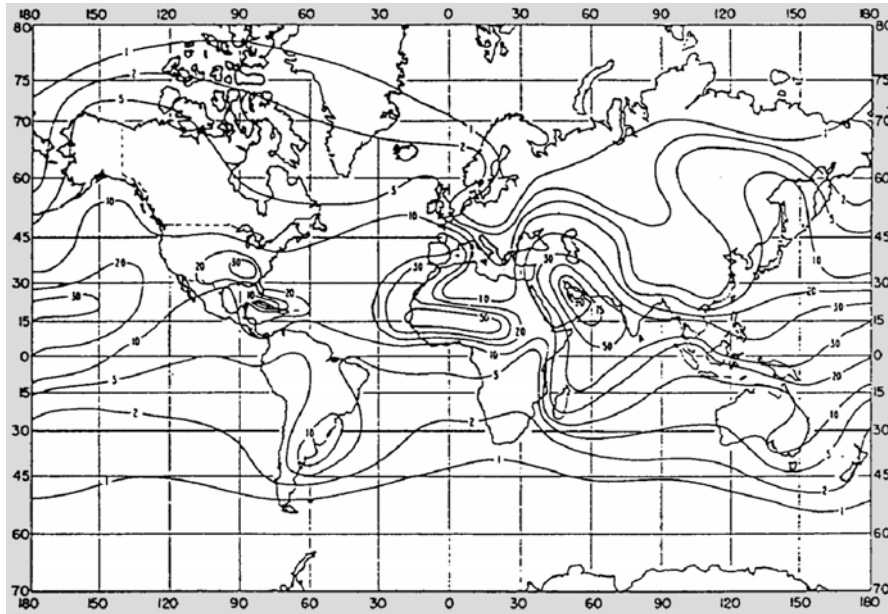
时间梯度百分比 ≤ -100 (N- units/km): 五月



P.0453-09

图10

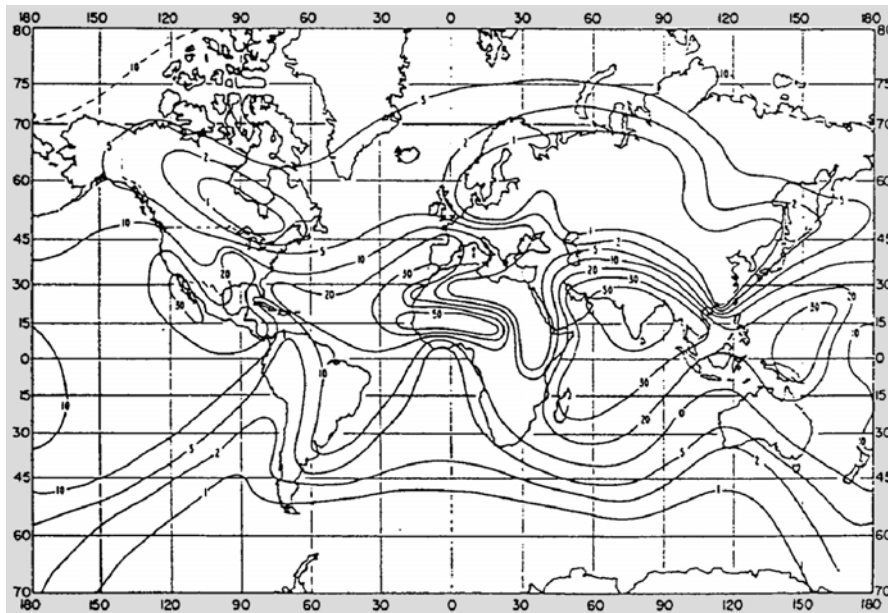
时间梯度百分比 ≤ -100 (N- units/km): 八月



P.0453-10

图11

时间梯度百分比 ≤ -100 (N- units/km): 十一月



P.0453-11

图12

在最低65 m处未超过年均1%的折射率梯度

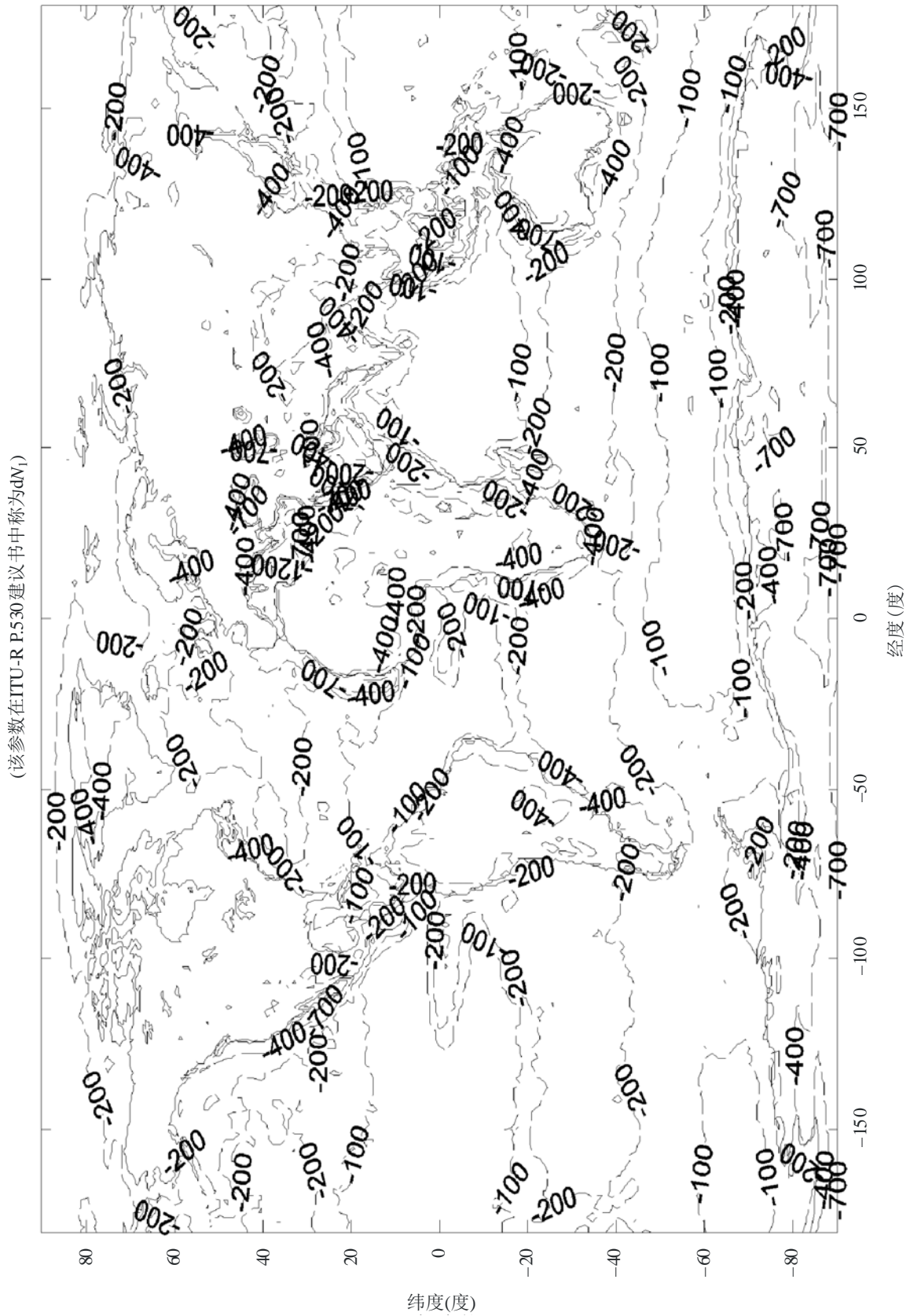


图13

在最低65 m处未超过年均10%的折射率梯度

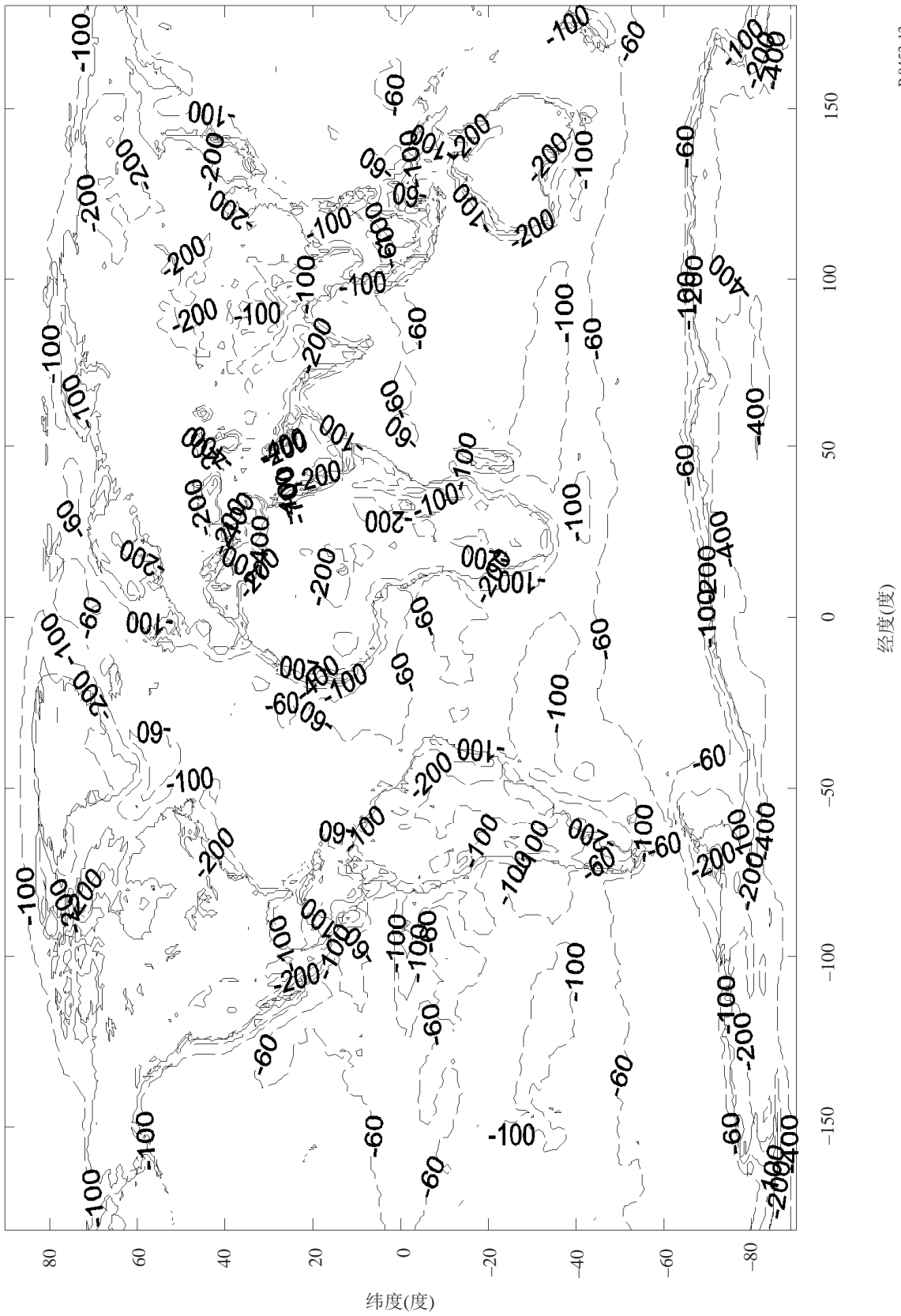


图14

在最低65 m处未超过年均50%的折射率梯度

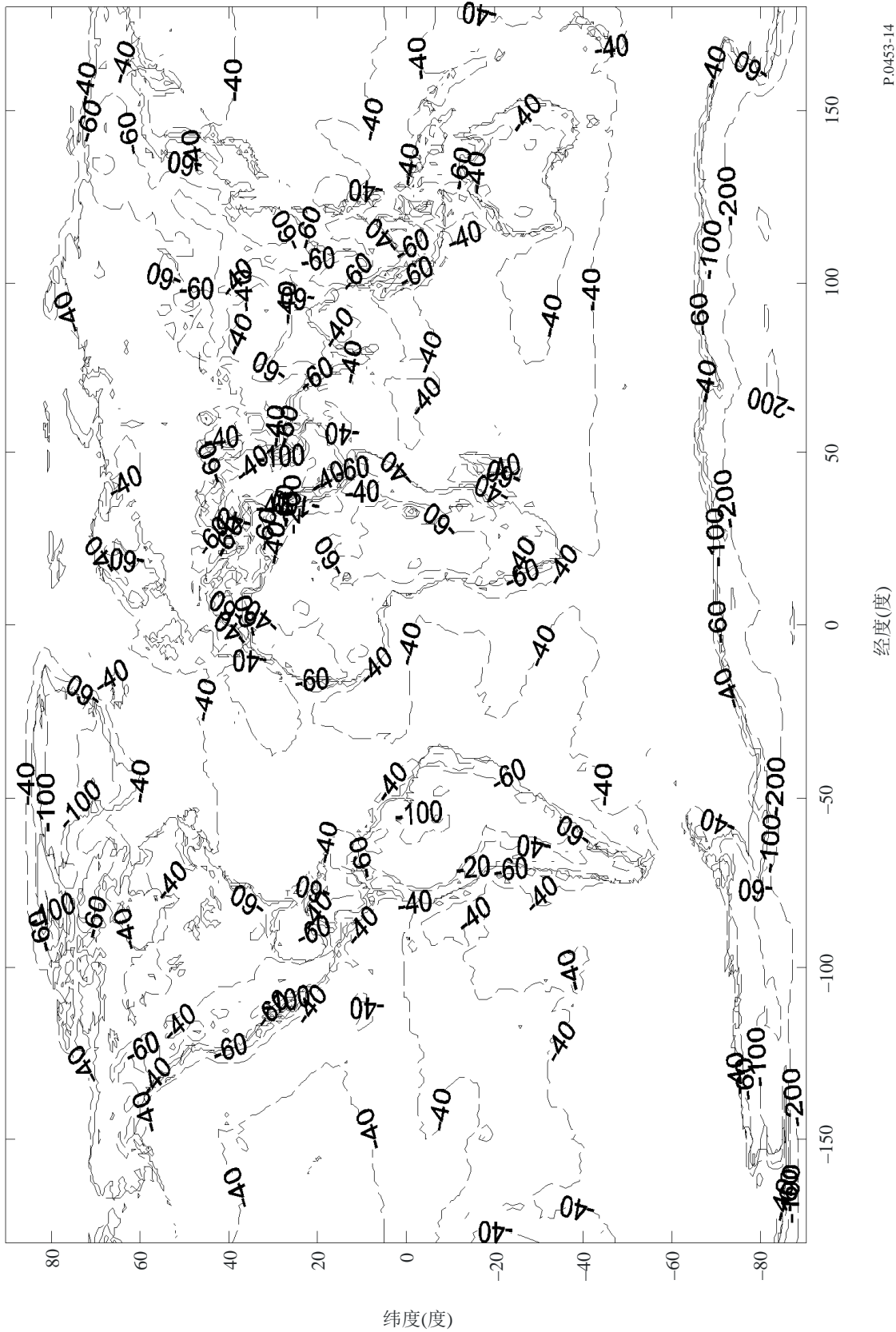
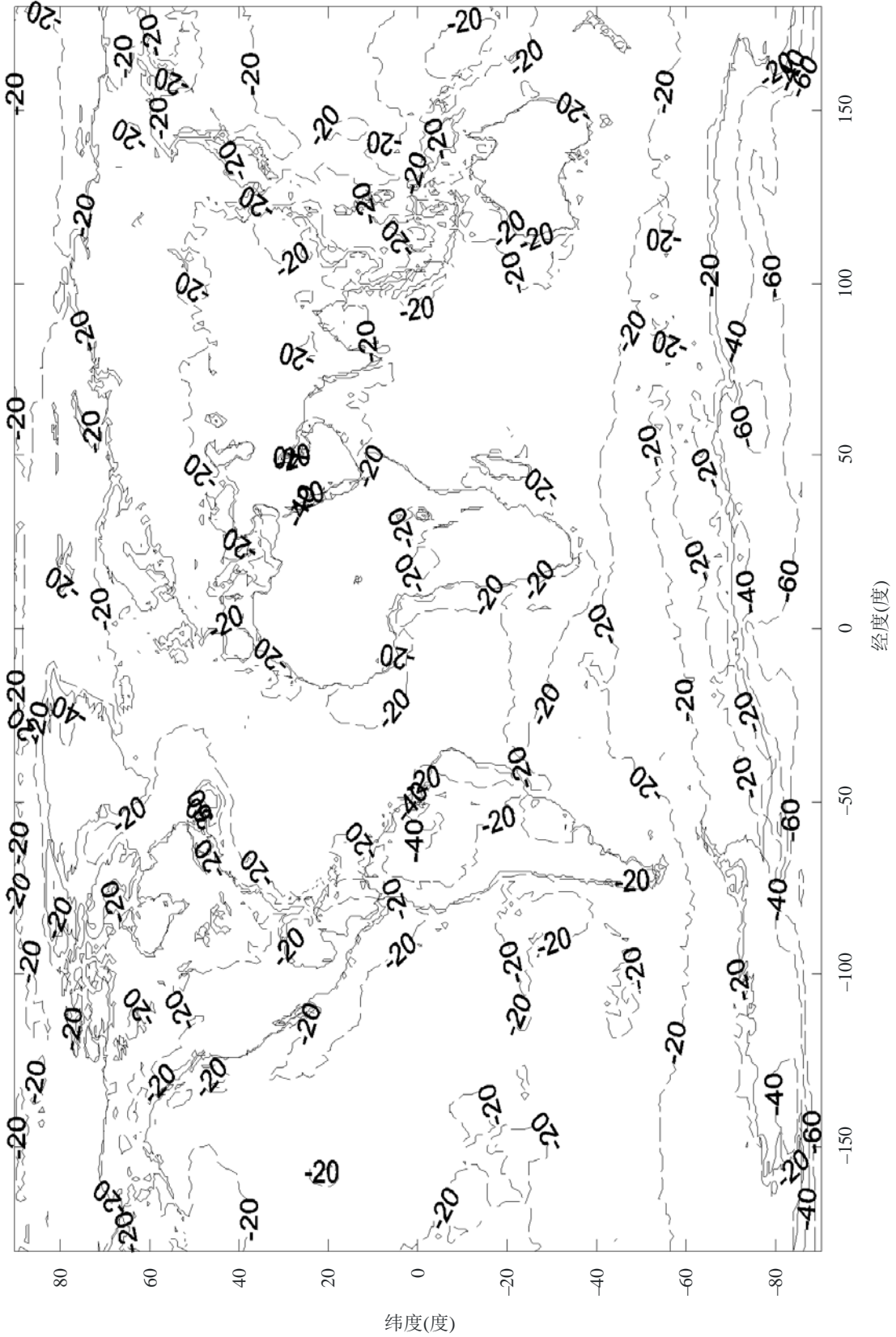


图15

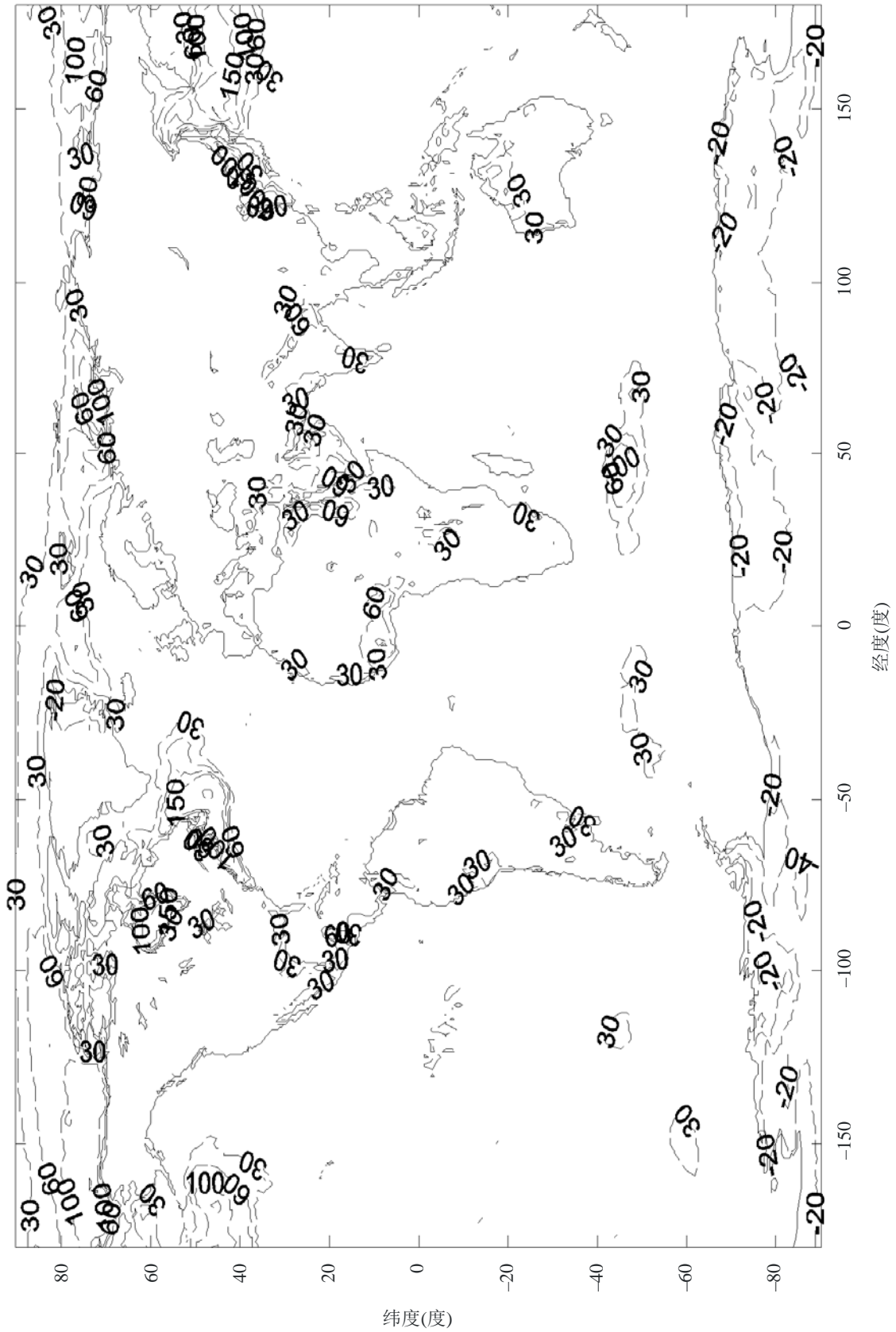
在最低65 m处未超过年均90%的折射率梯度



P.0453-15

图16

在最低65 m处未超过年均99%的折射率梯度



P.0453-16

4 折射率梯度统计分布

通过折射率梯度均值 Med 和地面相应地点的折射率值 N_s ，可以预测近地球表面在大气层最低100 m处的折射率梯度统计分布。

折射率梯度分布均值 Med 可通过概率 P_0 计算出，折射率梯度小于或等于 D_n ，采用下列等式：

$$Med = \frac{D_n + k_1}{(1/P_0 - 1)^{1/E_0}} - k_1 \quad (11)$$

其中：

$$E_0 = \log_{10}(|D_n|);$$

$$k_1 = 30。$$

等式(11)对 $-300 \text{ N-units/km} \leq D_n \leq -40 \text{ N-units/km}$ 范围内有效。如果对应于任一给定的折射率梯度 D_n 值的这一概率 P_0 值在需研究位置不可知，则有可能从图8至图11的世界地图中推导出 P_0 ，其中在这些图中给出了折射率梯度在大气层最低100 m处小于或等于 -100 N-units/km 的时间百分比。

如果不存在可靠的本地数据，则 N_s 可以从图1和2的全球海平面折射率 N_0 曲线图以及等式(9)中推导出。

当 $D_n \leq Med$ 时， D_n 的累积概率 P_1 可从下列等式推导出：

$$P_1 = \frac{1}{1 + \left[\left(\frac{|D_n - Med|}{B} + k_2 \right) k_3 \right]^{E_1}} \quad (12)$$

其中：

$$B = \left| \frac{0.3 Med - N_s + 210}{2} \right|$$

$$E_1 = \log_{10}(F + 1)$$

$$F = \frac{2 \times |D_n - Med|}{\left(\frac{B}{67} \right)^{6.5} + 1}$$

$$k_2 = \frac{1.6B}{120}$$

$$k_3 = \frac{120}{B}$$

等式(12)的有效范围为 $Med > 120$ N-units/km以及 -300 N-units/km $< D_n < 50$ N-units/km。

对于 $D_n > Med$, D_n 的累积概率 P_2 可由下列等式计算:

$$P_2 = 1 - \frac{1}{1 + \left[\left(\frac{|D_n - Med|}{B} + k_2 \right) k_4 \right]^{E_1}} \quad (13)$$

其中:

$$B = \left| \frac{0.3 Med - N_s + 210}{2} \right|$$

$$E_1 = \log_{10}(F + 1)$$

$$F = \frac{2 \times |D_n - Med|}{\left(\frac{B}{67} \right)^{6.5} + 1}$$

$$k_4 = \left[\frac{100}{B} \right]^{2.4}$$

等式(13)有效范围为 $Med > -120$ N-units/km以及 -300 N-units/km $< D_n < 50$ N-units/km。

5 表面导管和架空导管

大气导管可能导致较深的缓慢衰落, 较强的信号提升, 以及地面视距链路多径衰落, 并可能造成对穿地平线路径较强的干扰。因此有必要介绍导管的形成及其结构。本节给出来自661个站点声纳观测的20年数据(19767-1996)推导出的统计结果。

已修改折射率形式表述的导管定义为:

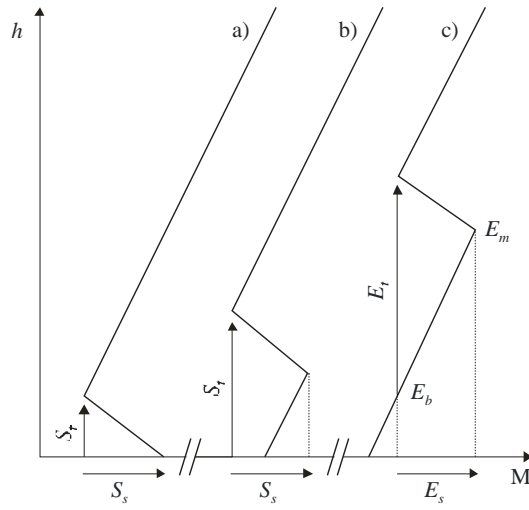
$$M(h) = N(h) + 157h \quad (\text{M-units}) \quad (14)$$

其中 h (km)是高度。

图17显示了以地面高度为函数的修改折射率以及导管类型的定义。导管可能有三种类型：表面型、架空表面型以及架空导管。由于架空表面型导管的情形远少于表面导管情形，因此在统计时将这两类情况合并为一种类别，即表面导管。表面导管特征参数为其强度， S_s (M-units)或 E_s (M-units)，及其厚度 S_t (m)或 E_t (m)。另用两个额外参数表示架空导管：即导管基本高度 E_b (m)和 E_m (m)，导管内高度最大值M。

图17

描述a) 表面 b) 架空表面和c) 架空导管的参数的定义



P.0453-17

为便于参照，图18至图25给出了图题中提及的数据文件内的数据。表面导管和架空表面导管在统计时已合并统计，原因是架空表面导管情况非常少。

数据范围在经度方面从 0° 至 360° ，在纬度方面从 $+90^\circ$ 至 -90° 。从不同于网格点的位置看，在该位置的折射率湿项可通过执行双线性内插从四个最近的网格点值中推导出。

数据文件可从无线电通信局(BR)获取。

图18

文件名: S_OCCURRENCE.TXT

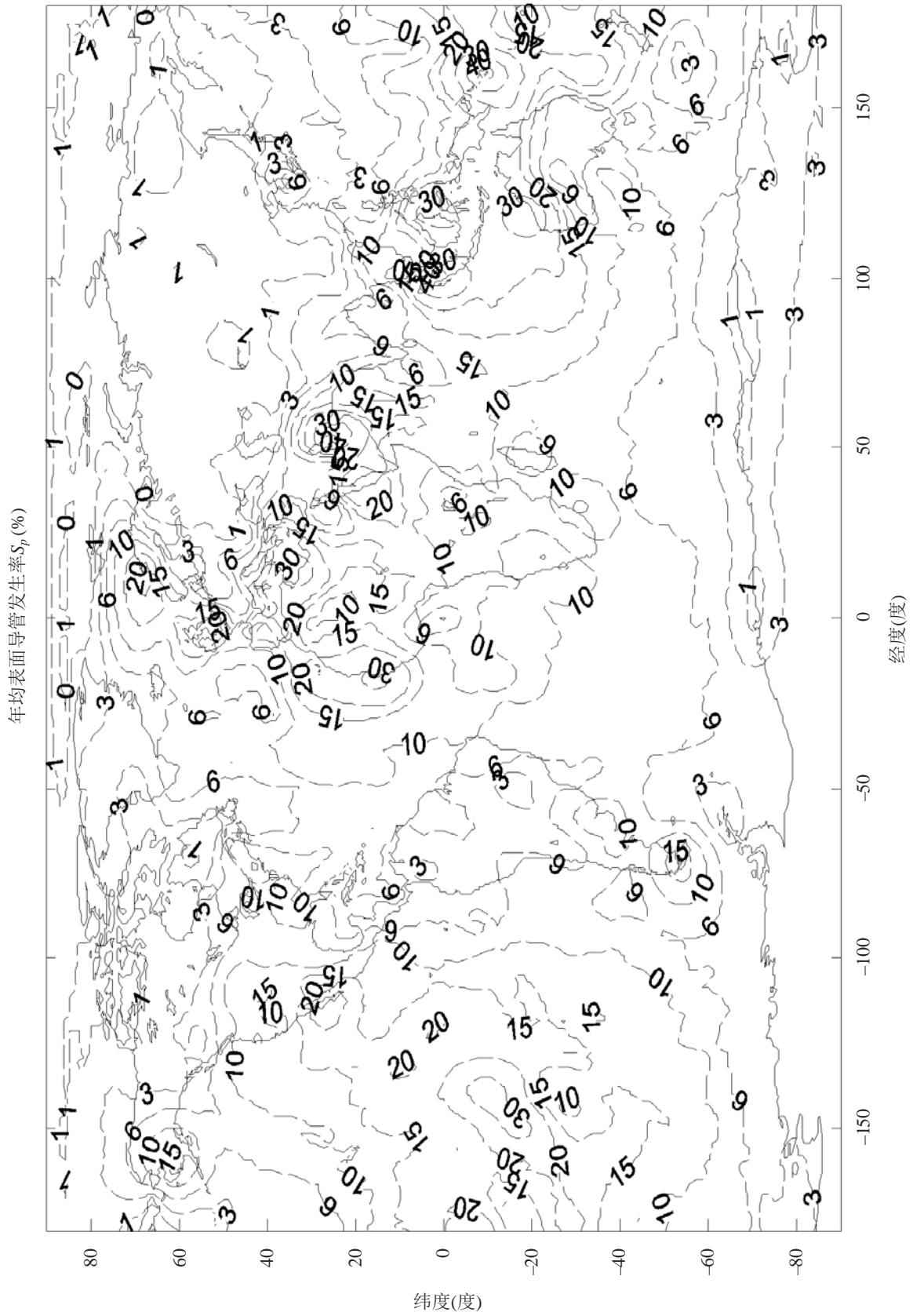
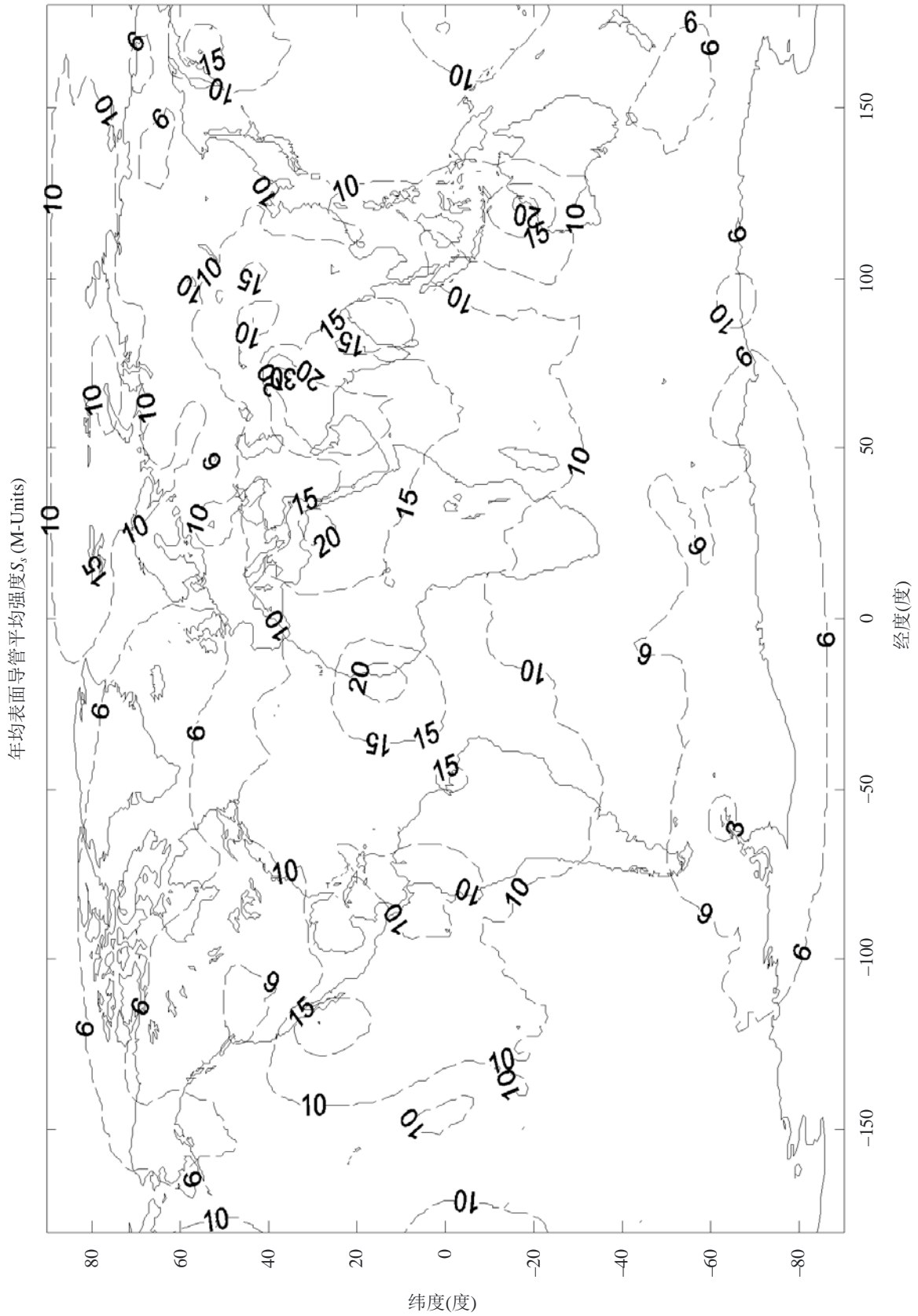


图19

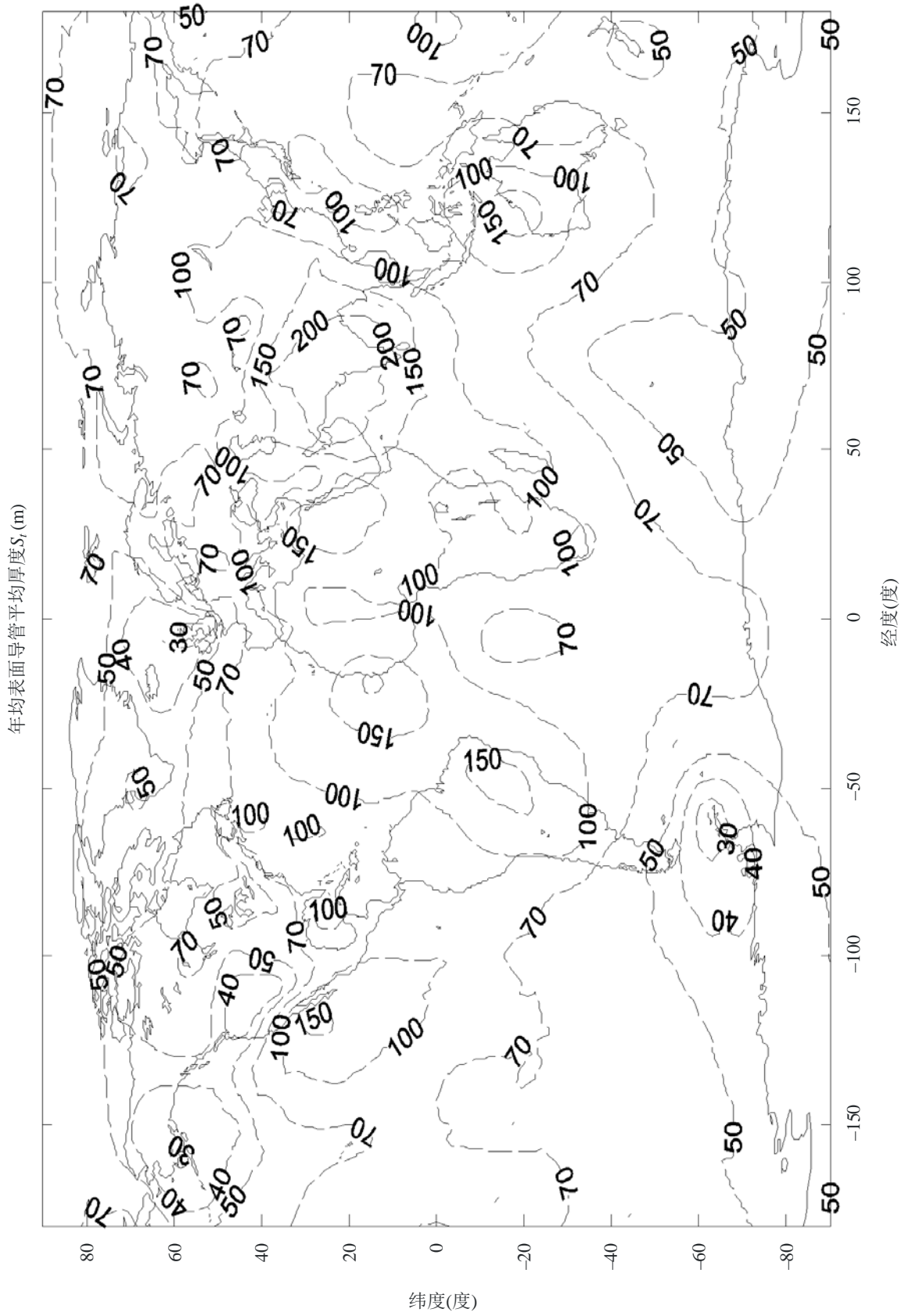
文件名: S_STRENGTH.TXT



P.0453-19

图20

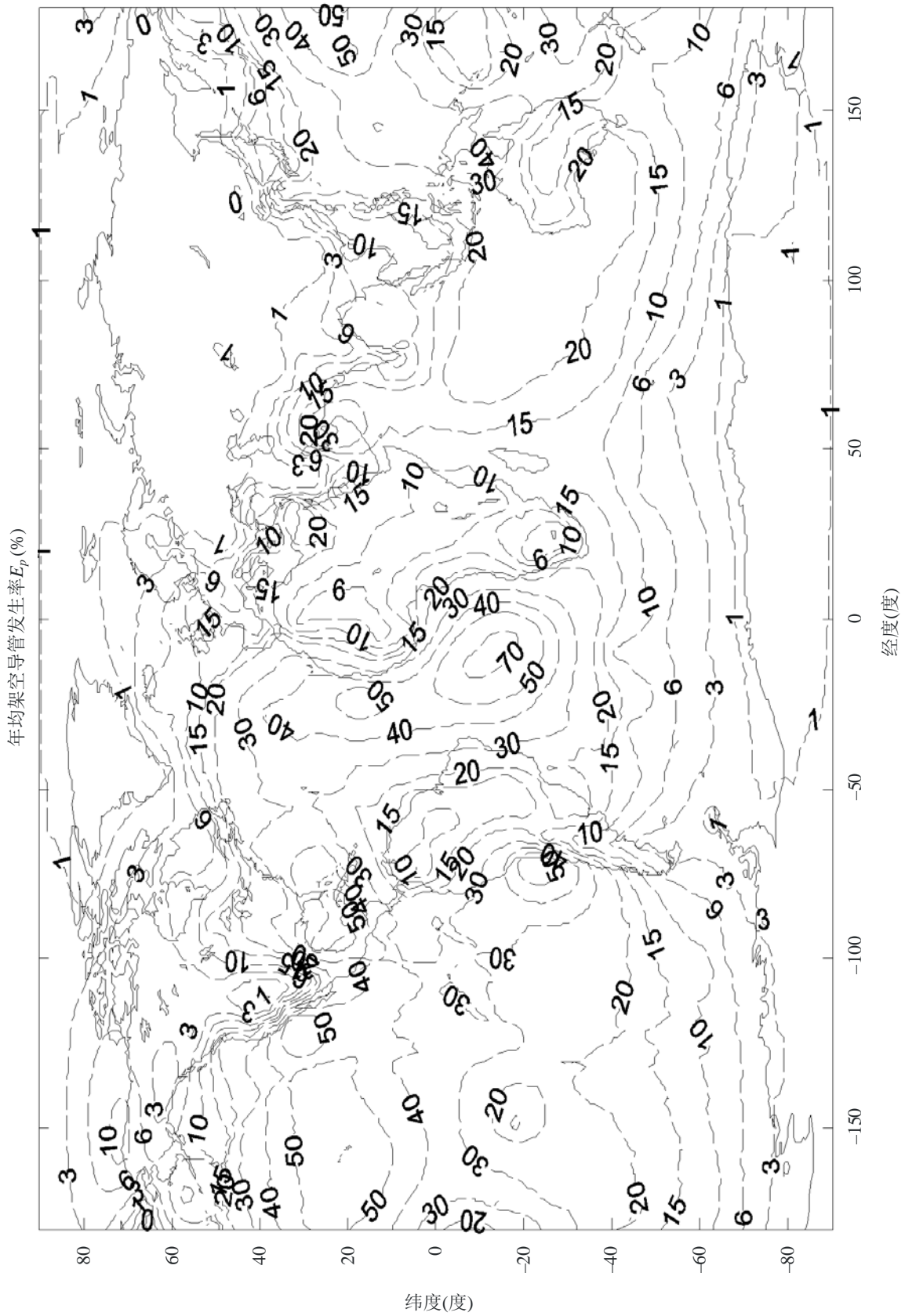
文件名: S_THICKNESS.TXT



P.0453-20

图21

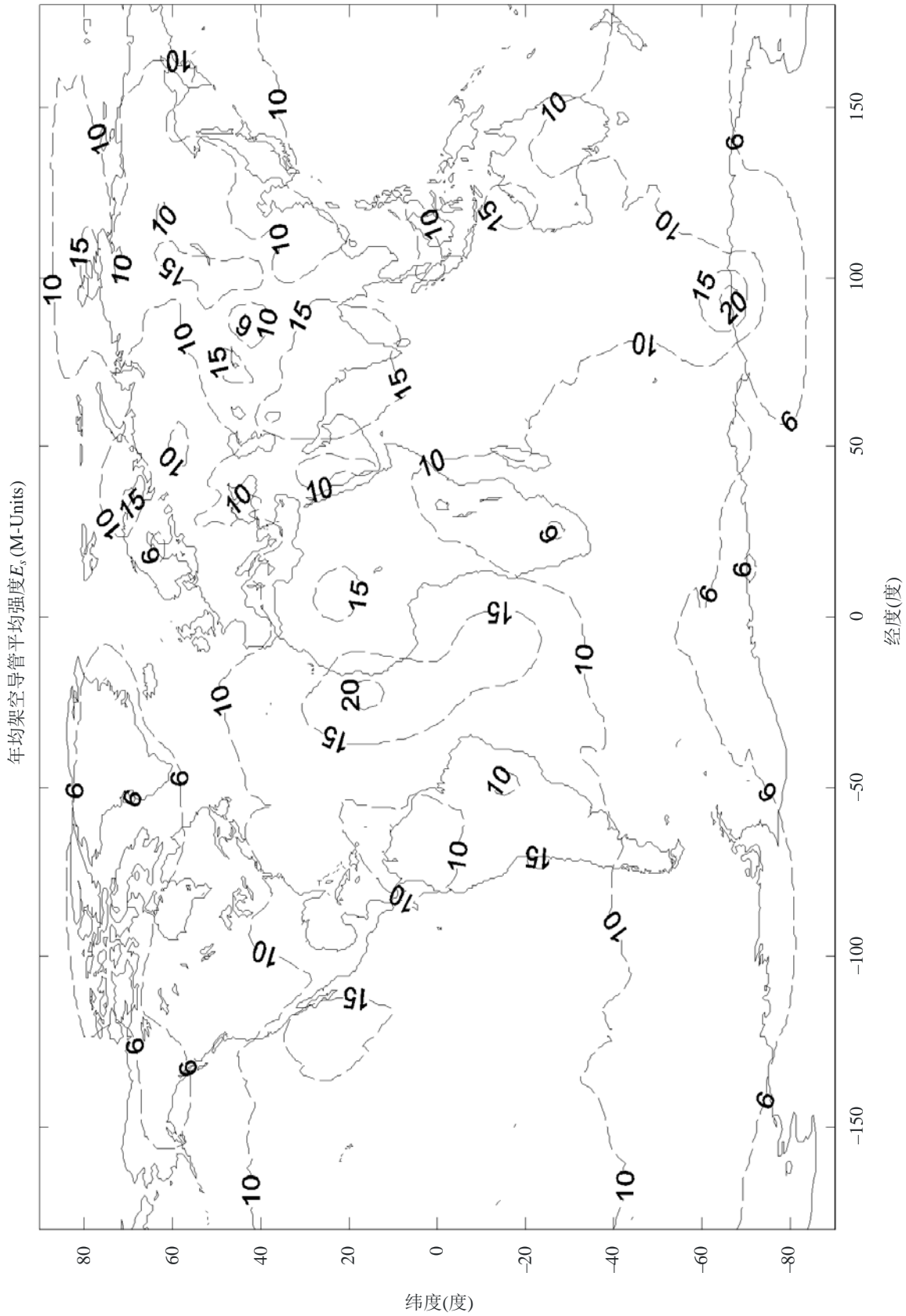
文件名: E_OCCURRENCE.TXT



P0453-21

图22

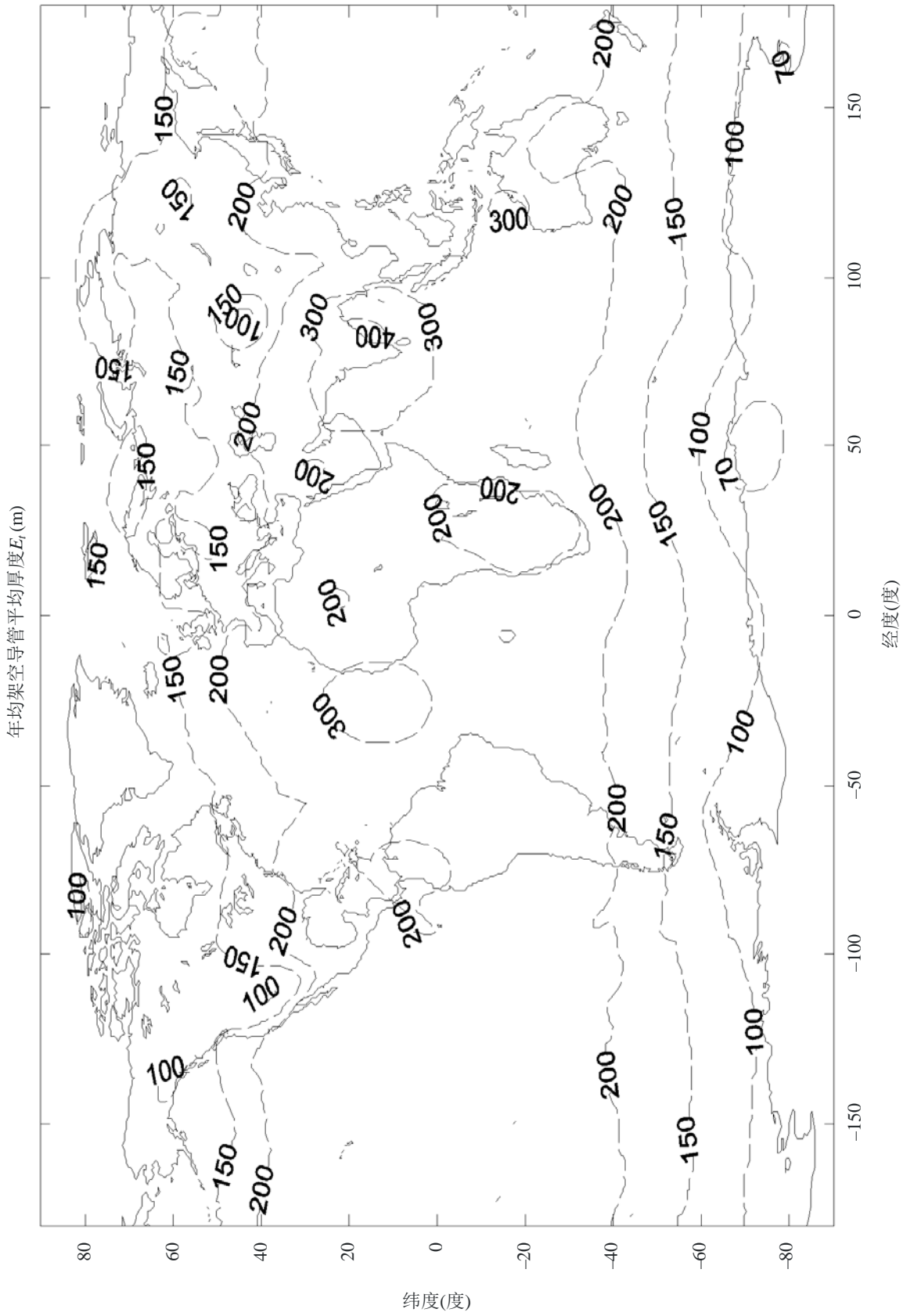
文件名: E_STRENGTH.TXT



P.0453-22

图23

文件名: E_THICKNESS.TXT



P0453-23

图24

文件名: E_BASE.TXT

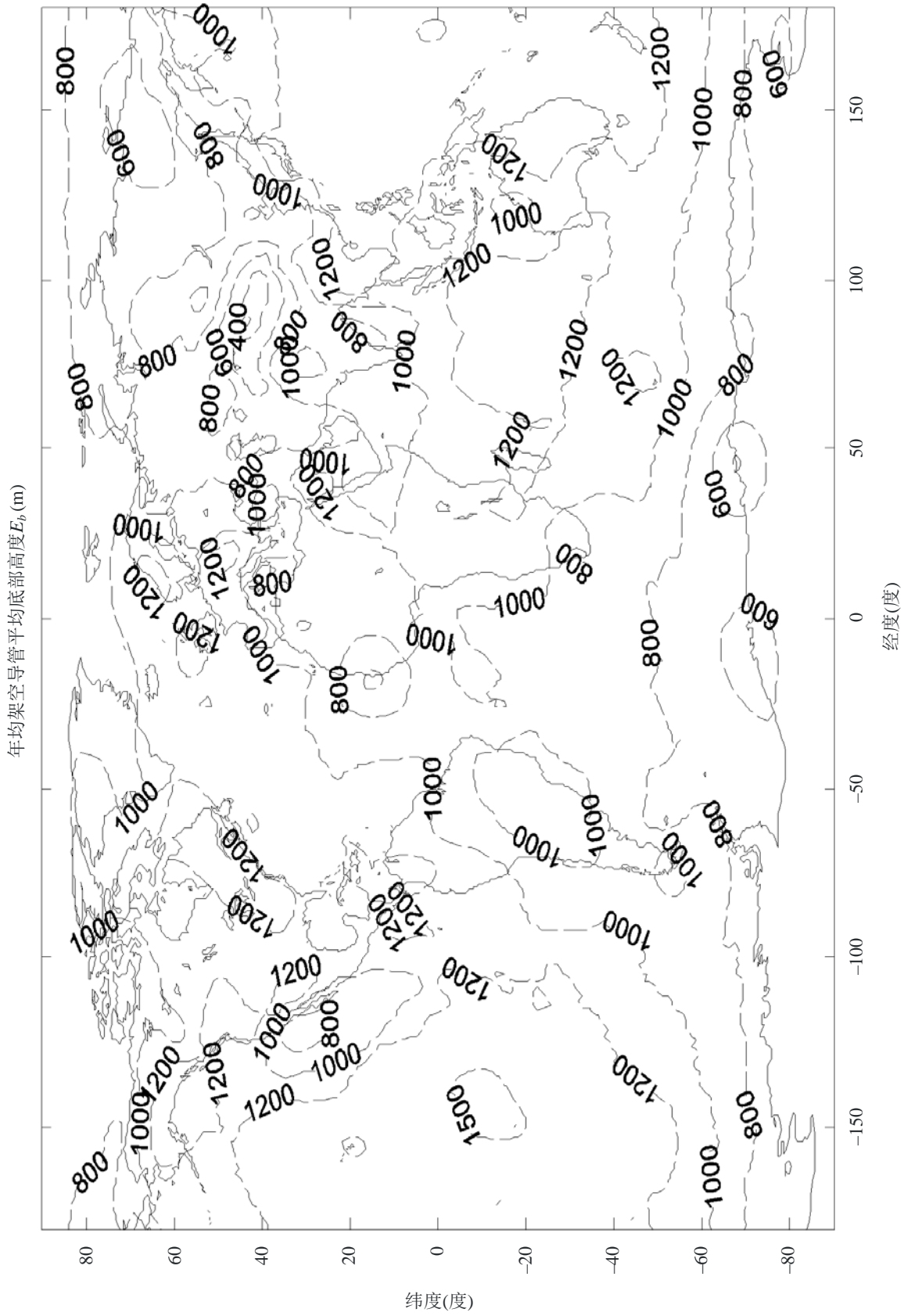
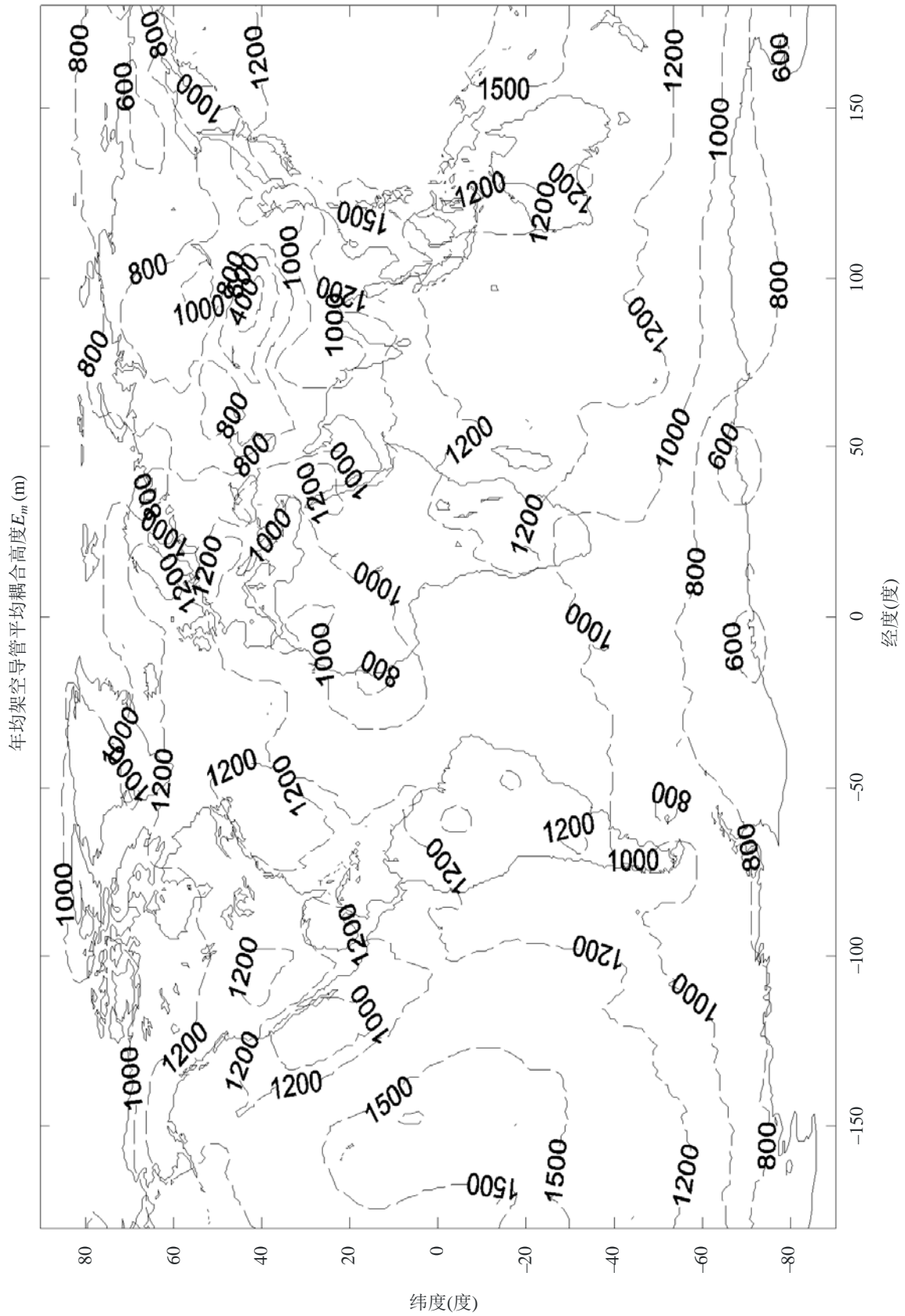


图25

文件名: E_MAX_M.TXT



P.0453-2.5